

شماره ۱۰۵، زمستان ۱۳۹۳

صص: ۲۸۲~۲۷۳

## بررسی تنوع ژنتیکی مرغ‌های بومی استان خوزستان با استفاده از نشانگرهای ریزماهواره

- مولیم بنوان کیا (نویسنده مسئول)

کارشناسی ارشد ژنتیک و اصلاح دام، دانشکده علوم دامی و صنایع غذایی، دانشگاه کشاورزی و منابع طبیعی رامین خوزستان.

- هدایت ا... روشنکر

دانشیار دانشکده علوم دامی و صنایع غذایی، دانشگاه کشاورزی و منابع طبیعی رامین خوزستان.

- جمال فیاضی

دانشیار دانشکده علوم دامی و صنایع غذایی، دانشگاه کشاورزی و منابع طبیعی رامین خوزستان.

شماره تماس نویسنده مسئول: ۹۳۳۶۸۱۸۷۴۲

تاریخ دریافت: شهریور ۹۲

تاریخ پذیرش: فروردین ۹۳

- مرتضی چاجی

دانشیار دانشکده علوم دامی و صنایع غذایی، دانشگاه کشاورزی و منابع طبیعی رامین خوزستان.

Email: Maryam.benvankia@yahoo.com

### چکیده

در مطالعه حاضر تنوع ژنتیکی ۱۰۰ قطعه مرغ بومی از ۵ منطقه در استان خوزستان شامل (آبادان، دزفول، شوشتر، اهواز و ایذه) با استفاده از ۶ نشانگر ریزماهواره مورد بررسی قرار گرفت. DNA، با استفاده از روش استخراج نمکی از نمونه‌های خون جمع آوری شده، استخراج شد. واکنش‌های PCR برای تمامی جایگاه‌ها به خوبی صورت گرفت و مشخص شد که همه جایگاه‌ها از چند شکلی بالایی برخوردار هستند. مقدار فراوانی جایگاه‌های مورد مطالعه بین ۰/۰۰۵ تا ۰/۲۴۷ بدست آمد. جمعاً ۱۰۳ آلل مشاهده شد. میانگین PIC به میزان ۰/۸۹۸ براورد شد. میانگین هتروزایگوستی در کل جمعیت ۰/۹۴۸ با بیشترین میزان ۰/۹۷ در جمعیت آبادان و با کمترین میزان ۰/۹۲ در جمعیت شوشتر برآورد شد. بنابراین آبادان بالاترین و شوشتر پایین ترین تنوع را نشان دادند. درخت فیلوزنوتیک حاصل از فاصله ژنتیکی DA به روش UPGMA ترسیم گردید که در این روش شوشتر قدیمی‌ترین جمعیت شناخته شد. در کل، سطح بسیار بالایی از تنوع ژنتیکی در این مطالعه شناسایی شده است.

**واژه‌های کلیدی:** مرغان بومی، هتروزایگوستی، محتوای اطلاعات چند شکلی، فاصله ژنتیکی، ریزماهواره.

Animal Science Journal (Pajouhesh &amp; Sazandegi) No 105 pp: 273-282

**Investigation Genetic Diversity Native Chicken of Khuzestan Using Microsatellite Markers.**

By: Benvankia, M. (M.Sc) Animal Science Genetic and Animal Breeding (Corresponding Author; Tel: +989336818742), Roshanfekr, H.A. Associate Professor., Fayazi, J. Associate Professor., Chaji, M. Associate Professor, Khuzestan Ramin Agricultural and Natural Resources University.

Received: August 2013

Accepted: March 2014

The variation within a population of 100 pieces of native chicken from 5 regions of Khuzestan province (Abadan, Dezful, Shushtar, Ahvaz, Izeh) were analyzed by using 6 microsatellite markers, in the present study. The DNA was extracted by using Salting Out method from blood samples collected. The PCR reactions for all locuses were performed and it was found that all of them are highly polymorphic. The frequency of studied locuses was obtained from 0.247 to 0.005. A total of 103 alleles were detected. The average of PIC rate was estimated (0.898). Average heterozygosity in whole population (0.948) detected Abadan, with the most level (0.97), and Shushtar with the lowest one (0.92). So Abadan and Shushtar have shown the highest and lowest levels, respectively. The Phylogenetic tree resulted from  $D_A$  genetic distance was drawn by UPGMA method, that Shushtar known as the oldest population. The High level of genetic variation identified in this study, generally.

**Key words:** Native Chicken, Heterozygosity, Polymorphism Information Content, Genetic Distances,

**مقدمه**

استفاده شدند، که تنوع بالایی در این مرغ‌ها مشاهده شد(۴). رابطه و تنوع ژنتیکی جمعیت مرغ‌های بومی استان خراسان با استفاده از چهار جفت نشانگر ریزماهواره‌ای مورد بررسی قرار گرفت. میزان تنوع درون جمعیتی، در این جمعیت ۷۴٪ گزارش شد که ممکن است ناشی از هم‌خونی پایین در این جمعیت باشد(۱۰). در تحقیقی دیگر، به منظور شناسایی چند شکلی جمعیت مرغ بومی سیستان، ۳۰ قطعه مرغ بومی به صورت تصادفی انتخاب و با استفاده از ۵ نشانگر ریزماهواره‌ای مورد بررسی قرار گرفت. تمامی جایگاه‌های مورد مطالعه از چند شکلی مناسبی برخوردار بودند(۱). هدف از این تحقیق، بررسی وضعیت تنوع ژنتیکی مرغ‌های بومی در استان خوزستان، تعیین توانمندی نشانگرهای ریزماهواره در بررسی تنوع ژنتیکی و کمک به برنامه‌های اصلاح نژادی در مرغ بومی کشور بوده است.

**مواد و روش‌ها****نمونه برداری و انجام واکنش PCR<sup>۱</sup>**

جهت انجام این بررسی، از ۱۰۰ قطعه مرغ بومی به صورت کاملاً تصادفی، در ۵ منطقه از استان خوزستان (آبادان، دزفول، شوشتر،

تاریخ طولانی اهلی شدن و انتخاب برای صفات مهم از نظر انسان، سبب ایجاد تنوع زیستی وسیعی در بین گونه‌ها و نژادهای مختلف طیور شده است. خواسته‌های تجاری و فشار انتخاب، سبب ایجاد خطر از دست رفتن مخزن ژنتیک طبیعی این پرندگان شده، به همین دلیل، فعالیت‌های وسیعی در زمینه حفظ و نگهداری ژنوم طبیعی طیور انجام شده است(۱۳). در شرایط کنونی، روستاییان به نژادهای مقاوم با تولید مطلوب و منطبق با شرایط اقلیمی مختلف، نیاز دارند(۱۵). پلی مورفیسم بالا و آسانی نسبی در درجه بندی و تجزیه داده‌های حاصل، از ویژگی‌های مهم نشانگرهای ریزماهواره است که موجب توسعه مطالعات آن شده است(۱۶). در یک بررسی جمعیت مرغ‌های بومی از ۷ منطقه متفاوت در شمال ایوبی مورد مطالعه قرار گرفتند. تنوع و تفاوت ژنتیکی جمعیت، با استفاده از نشانگرهای ریزماهواره تعیین گردید. سه لاین از مرغ‌های بومی آفریقای جنوبی و دو سویه مرغ تجاری برای مقایسه در نظر گرفته شدند. در تمام جمعیت‌ها تنوع ژنتیکی مطلوبی مشاهده شد(۶). در مطالعه‌ای در برزیل ۲۰ جایگاه میکروساتلاتیت با پتانسیل بالا برای مطالعات تنوع، در توده‌های مرغ‌های بومی برزیل

مورد استفاده قرار گرفته است که مشخصات آنها در جدول ۱ آورده شده است. آغازگرها از شرکت تکاپوزیست و به صورت لیوفلیزه (غیر حساس به دما) خریداری و طبق دستورالعمل کارخانه با آب دوبار تقطیر رقیق گردیدند. پس از حل کردن و رقیق ساختن آغازگرها طبق دستورالعمل مربوطه، در دمای ۲۰-درجه سانتیگراد نگهداری شدند.

اهواز، اینده) به میزان ۳ میلی لیتر خون از ورید و داج گرفته شد و به آرامی به لوله های خلأدار حاوی ماده ضد انعقاد خون<sup>۲</sup> ریخته شد و سپس، نمونه های جمع آوری شده به آزمایشگاه مرکزی دانشگاه رامین خوزستان ارسال گردید. در آزمایشگاه، پس از استخراج DNA به روش استخراج نمکی<sup>۳</sup>، DNA جمع آوری شده رقیق گشته و به فریزر منتقل گردید. در این مطالعه ۶ جایگاه ریزماهواره

جدول ۱- مشخصات جایگاه های مورد مطالعه

منابع	توال پرایمر	دامنه آللی	جایگاه کروموزومی	جایگاه
Gibbs et al.1997	R:TATCCCCTGGCTGGAGTTT	۲۴۸-۳۶۴	۳	LEI0166
Mcconnel et al.1999	R:GTCATTACTGTTATGTTATTGC	۲۵۴-۳۷۰	۶	LEI0192
Mcconnel et al.1999	R:AAATTACTGAGGCACAGGAG	۱۸۲-۲۷۴	۱	LEI0217
Mcconnel et al.1999	R:CTTCAACTATAAAGCATACTG	۲۷۲-۳۸۴	۲	LEI0237
Mcconnel et al.1999	R:AGCTGTGCTCAGTCCTCAGTGC	۱۹۷-۲۷۵	۱۶	LEI0258
Crooijmans et al.1997	R:GACAAGTCAACAACTTGCCAG	۲۸۱-۳۲۱	۱۳	MCW0213

- بدست آمد. بر حسب نوع آغازگر دمای اتصال آغازگرها بین ۵۸-۵۸ درجه سانتیگراد متفاوت بود. مراحل واسرتست سازی تا بسط بر حسب نوع آغازگر ۳۰-۳۵ بار تکرار گردید.

پس از آزمایشات غلظت های مختلف اجزای PCR، شرایط بهینه به دست آمد. تکثیر DNA زنومی از طریق واکنش زنجیره ای پلیمراز انجام گردید. بعد از آزمایش دما و برنامه های مختلف، برنامه حرارتی مناسب برای آغازگرهای مورد مطالعه طبق جدول ۲

## جدول ۲- چرخه‌های حرارتی PCR

مراحل PCR	درجة حرارة	زمان
واسرتست سازی اولیه	۹۵	۵ دقیقه
واسرتسته سازی	۹۵	۴۵ ثانیه
اتصال آغازگر	دماهی اتصال مربوط به آغازگر	۴۵ ثانیه
بسط	۷۲	۴۵ ثانیه
بسط نهایی	۷۲	۱۰ دقیقه
نگهداری	۴	۲۰ دقیقه

Gene Alex آمدند و سپس از نرم افزارهای ۱.۸ HET (۲) و ۶.۳ Pop tree2 (۱۴) استفاده شد.

### نتایج

#### فراوانی آلی

در این تحقیق، اعداد به دست آمده از نرم افزار UV DOC وارد Excel شد و از طریق نرم افزار Gene Alex6.3 مقدار فراوانی جایگاه‌های مورد مطالعه محاسبه شد. مقدار هر آلی با حروف لاتین در جدول ۳ نشان داده شده است.

در این تحقیق جهت آشکارسازی تفاوت قطعات DNA از الکتروفورز ژل پلی اکریل آمید ۸٪ استفاده گردید.

از هر نمونه ۸ ماکرو لیتر و به همراه ۱ ماکرو لیتر لدر در چاهک بارگذاری و با ولتاژ ۱۸۰ و جریان ۱۰۰ میلی آمپر به مدت ۲ تا ۳ ساعت الکتروفورز گردید. بعد از ظاهر شدن باندها بر روی ژل، توسط یک دوربین از این ژل‌ها عکس گرفته شد. سپس با استفاده از نرم افزار UV DOC دامنه آلی به دست آمد که این اعداد در واقع اعداد مورد نیاز جهت آنالیزها به شمار می-

## جدول ۳- فراوانی آلی برای ۶ جایگاه ریزماهواره

MCW0213	LEI0258	LEI0237	LEI0217	LEI0192	LEI0166	جاگاه آلی / اندازه آلی
۳۸۰-۱۵۰	۳۸۰-۱۵۰	۳۸۰-۱۳۰	۲۹۰-۱۰۰	۳۸۰-۱۴۰	۳۵۰-۱۸۰	A
-	-	-	۰/۰۴۵	-	-	B
-	-	-	۰/۰۱۷	-	-	C
-	-	۰/۰۱۱	۰/۰۲۸	-	-	D
-	-	-	۰/۰۳۴	۰/۰۱۱	-	E
-	۰/۱۰۱	۰/۰۵۰	۰/۰۸۰	۰/۰۷۴	-	F
-	۰/۰۶۲	۰/۰۰۶	۰/۰۸۵	۰/۰۲۶	-	G
-	۰/۰۵۱	۰/۰۱۷	۰/۰۴۰	۰/۰۴۲	-	H
-	۰/۰۵۱	۰/۰۳۹	۰/۱۵۹	۰/۰۵۸	۰/۰۰۵	I
۰/۰۵۳	۰/۱۱۸	۰/۰۲۲	۰/۱۰۲	۰/۰۸۴	۰/۰۲۲	J
۰/۰۷۱	۰/۰۷۳	۰/۰۷۸	۰/۱۷۰	۰/۲۴۷	۰/۱۰۹	K
۰/۱۰۰	۰/۰۴۵	۰/۰۷۸	۰/۰۶۸	۰/۱۰۵	-	L
۰/۱۰۰	۰/۰۱۷	۰/۰۵۶	۰/۰۲۸	۰/۰۴۷	۰/۰۳۸	

### ۳- جدول ادامه

جایگاه	آلل / اندازه آللی	LEI0166	LEI0192	LEI0217	LEI0237	LEI0258	MCW0213
۳۸۰-۱۵۰	۳۸۰-۱۵۰	۳۸۰-۱۴۰	۲۹۰-۱۰۰	۳۸۰-۱۳۰	۳۸۰-۱۵۰	۳۵۰-۱۸۰	۳۸۰-۱۵۰
۰/۰۷۶	۰/۰۹۶	۰/۰۵۷	۰/۰۵۷	۰/۰۶۷	۰/۰۶۷	۰/۰۴۹	M
۰/۰۴۱	۰/۰۱۱	۰/۰۲۳	۰/۰۱۰	۰/۰۶۷	۰/۰۲۳	۰/۱۳۰	N
۰/۱۱۸	۰/۰۶۲	۰/۰۳۴	۰/۰۴۲	۰/۰۷۲	۰/۰۴۵	۰/۱۱۴	O
۰/۰۶۵	۰/۰۴۵	۰/۰۱۷	۰/۰۰۵	۰/۱۱۱	۰/۰۱۷	۰/۱۱۴	P
۰/۱۲۹	۰/۱۰۷	۰/۰۳۷	۰/۰۱۱	۰/۰۶۷	۰/۰۱۱	۰/۰۹۲	Q
۰/۱۲۹	۰/۰۹۶	۰/۰۴۷	۰/۰۴۷	۰/۱۲۲	-	۰/۲۰۷	R
۰/۰۴۱	۰/۰۲۸	۰/۰۱۱	۰/۰۱۱	۰/۰۶۷	-	۰/۰۸۷	S
۰/۰۲۴	۰/۰۰۶	-	-	۰/۰۲۲	-	-	T
۰/۰۲۴	۰/۰۱۷	-	-	۰/۰۱۷	-	۰/۰۳۳	U
۰/۰۰۶	۰/۰۰۶	-	-	۰/۰۰۶	-	-	V
۰/۰۱۸	۰/۰۰۶	-	-	۰/۰۰۶	-	-	W
-	۰/۰۰۶	-	۰/۰۱۱	۰/۰۲۲	-	-	X
۰/۰۰۶	-	-	-	-	-	-	Y

### نتایج محتوای اطلاعات چندشکلی (PIC<sup>4</sup>)

وارد کردن این فراوانی‌ها در نرم افزار Het 1.80 محاسبه گردید و نتایج حاصله در جدول ۴ خلاصه شده است.

محتوای اطلاعات چند شکلی به عنوان معیار دیگری برای چند شکلی جایگاه‌ها به ازای کل جمعیت‌ها و با استفاده از فراوانی آللی که توسط نرم افزار Gene Alex 6.3 به دست آمده بود و

جدول ۴- نتایج محتوای چند شکلی در همه جمعیت (PIC)

میانگین	MCW0213	LEI0258	LEI0237	LEI0217	LEI0192	LEI0166	جایگاه
۰/۹۰۳	۰/۹۱۷	۰/۹۲۴	۰/۸۹۷	۰/۸۸۰	۰/۸۶۹	PIC	

### هتروزایگوسیتی مشاهده شده و هتروزایگوسیتی مورد انتظار

میانگین‌ها در جدول ۵ خلاصه شده است. تعیین این مقادیر برای هر جایگاه در این جمعیت با استفاده از نرم افزار Gene Alex 6.3 انجام گرفته است.

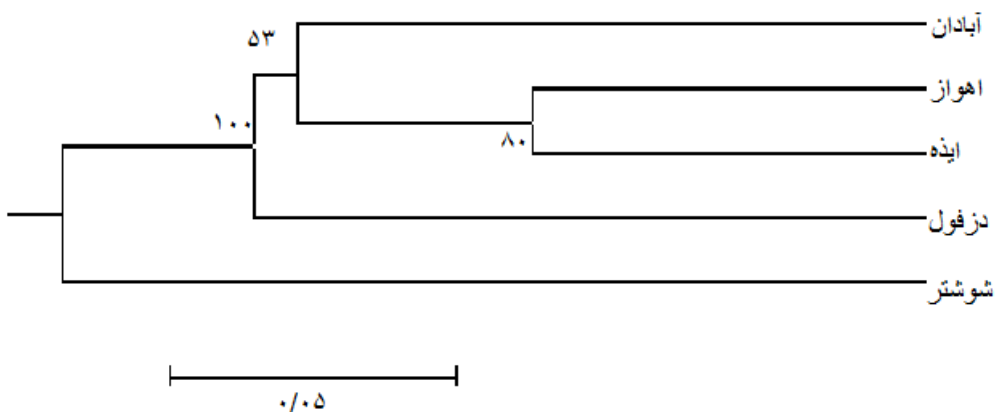
تنوع درون جمعیتی یا تنوع ژنی به صورت هتروزایگوسیتی مشاهده شده و هتروزایگوسیتی مورد انتظار به عنوان شاخص اصلی تنوع درون جمعیتی، در هر جایگاه و برای هر جمعیت به همراه

جدول ۵- نتایج تنوع ژنی یا هتروزایگوستی (مشاهده شده و مورد انتظار) موجود در ۵ جمیعت

اینده		اهواز		شوستر		دزفول		آبادان		جمیعت
He	Ho	He	Ho	He	Ho	He	Ho	He	Ho	جایگاه
۰/۸۴۱	۱	۰/۸۵۴	۰/۹۰۰	۰/۸۰۵	۱	۰/۸۸۹	۰/۹۴۴	۰/۸۵۵	۱	
۰/۷۸۵	۰/۸۸۹	۰/۸۵۴	۰/۹۴۷	۰/۸۷۶	۱	۰/۸۹۹	۰/۸۹۵	۰/۸۳۸	۱	
۰/۸۸۲	۱	۰/۸۶۸	۱	۰/۸۷۶	۰/۹۵۰	۰/۸۵۸	۱	۰/۸۷۷	۱	
۰/۹۰۱	۰/۸۸۲	۰/۸۹۴	۱	۰/۹۱۶	۰/۷۸۹	۰/۸۹۳	۰/۹۴۱	۰/۸۹۵	۰/۸۴۲	
۰/۸۶۷	۰/۸۷۵	۰/۸۹۸	۱	۰/۸۸۹	۰/۷۸۹	۰/۹۰۱	۱	۰/۹۱۴	۱	
۰/۸۴۰	۰/۹۳۸	۰/۸۷۹	۰/۹۵۰	۰/۸۸۲	۱	۰/۸۷۰	۱	۰/۸۲۲	۱	MCW0213
۰/۸۵۲	۰/۹۳	۰/۸۷۴	۰/۹۶	۰/۸۷۴	۰/۹۲	۰/۸۸۵	۰/۹۶	۰/۸۷۶	۰/۹۷	میانگین

## درخت فیلوجنیک

فیلوجنی حاصل از معیار فاصله ژنتیکی  $D_A$  از طریق روش UPGMA با استفاده از نرم افزار Pop tree ترسیم گردیده است.



درخت فیلوجنیک حاصل از فاصله ژنتیکی  $D_A$  که به روش UPGMA تشکیل گردیده است

## بحث

P در جایگاه LEI0192 مشاهده شد. جایگاه LEI0237 و LEI0258 با بیشترین تعداد آلل کارایی بهتری را از خود نشان دادند. تعداد کل آلل مشاهده شده برای جایگاه LEI0166 ۱۲، LEI0166 ۱۰۳، LEI0166 ۶ آلل بود که با نتایج دینگ و همکاران (۲۰۰۹) با تعداد ۳ آلل در مرغهای بومی چین و بنگلادش، چن و همکاران (۲۰۰۸) با تعداد ۶ آلل در مرغهای بومی چین، زانتی و همکاران (۲۰۱۰) با تعداد ۳ آلل در مرغهای بومی ایتالیا، کلیمنتینو و همکاران (۲۰۱۰) تعداد آلل ۸ در مرغهای بومی بروزیل مغایرت داشت. در این بررسی

سودمندی یک نشانگر ژنتیکی، به تعداد و فراوانی آللی آن مربوط می شود که این فاکتورها در میزان هتروزایگوستی و چند شکلی آن تأثیر دارند. فراوانی آللی به دلیل استفاده از داده های خام نمونه های تصادفی از ژنوم بوده و معیار مناسبی در بررسی تنوع ژنتیکی با استفاده از نشانگرها می باشد (۸). در این تحقیق جمیعت ۱۰۳ آلل مشاهده شد بیشترین فراوانی آللی با میزان ۰/۲۴۷ مربوط به آلل J در جایگاه LEI0166 و کمترین فراوانی آللی با میزان ۰/۰۰۵ مربوط به آلل H در جایگاه LEI0166 و مربوط به آلل

۰/۹۰۱ تا حدود زیادی مطابقت داشت. میزان PIC برای جایگاه LEI0258، ۰/۹۱۷ برآورد شد که با نتایج کلیمتینو و همکاران (۲۰۱۰) به میزان ۰/۹۰۶ تا حدود زیادی مطابقت داشت. میزان PIC برای جایگاه MCW0213، ۰/۹۰۳ برآورد شد که با نتایج کلیمتینو و همکاران (۲۰۱۰) با میزان ۰/۸۹۹ تا حدود زیادی مطابقت داشت و با نتایج هاسن و همکاران (۲۰۰۷) در مرغ‌های بومی اتیوبی به میزان ۰/۷۵ مغایرت داشت. در نهایت میانگین PIC نهایی به میزان ۰/۸۹۸ در کل جایگاه‌ها و جمعیت‌ها محاسبه شد. طبق جدول، جایگاه‌های LEI0237 با میزان PIC ۰/۹۲۴ و جایگاه LEI0258 با میزان PIC ۰/۹۱۷ بیشترین میزان PIC را در بین جایگاه‌ها داشته‌اند و توانسته‌اند بهتر از بقیه آغازگرهای استفاده شده فاصله ژنتیکی نمونه‌ها را مشخص کنند و می‌توانند در مطالعات بعدی نیز به عنوان آغازگرهایی که در تشخیص نوع ژنتیکی مناسب هستند مورد استفاده قرار گیرند و جایگاه LEI0166 دارای کمترین میزان PIC (۰/۸۶۹) می‌باشد و توصیه می‌شود از این آغازگر در مطالعات بعدی استفاده نگردد. دلیل بالابودن ارزش PIC بالاتر از ۰/۷ خصوصاً در جایگاه‌های LEI0237 و LEI0258، دلیلی مشهود بر چند شکلی زیاد این جایگاه‌ها و از طرفی بیانگر کارآمدی بالای آن‌ها در تمایز جایگاه‌های موجود در جمعیت‌ها می‌باشد. دلیل تفاوت را می‌توان ژنتوتیپ‌های در نشانگرهای مورد استفاده و همچنین تفاوت در نمونه‌ها به تفاوت در نشانگرهای مورد استفاده و همچنین تفاوت در نمونه‌ها موردن بررسی نسبت داد. تعداد آلل در هر لوکوس از جمله پارامترهایی است که در تحلیل و تجزیه داده‌ها محاسبه می‌گردد. تنوع درون جمعیتی یا تنوع ژنی به صورت هتروزایگوسیتی مشاهده شده و هتروزایگوسیتی مورد انتظار به عنوان شاخص اصلی تنوع درون جمعیتی، در هر جایگاه و برای هر جمعیت به همراه میانگین‌ها در جدول ۵ خلاصه شده است. تعیین این مقادیر برای هر جایگاه در این جمعیت با استفاده از نرم افزار GeneALEX6.3 انجام گرفت.

با در نظر گرفتن کلیه جایگاه‌ها به ازاء جمعیت‌ها بیشترین میزان هتروزایگوستی مشاهده شده به میزان ۱ می‌باشد که در این LEJ0166، LEJ0192، LEJ0217 تحقیقه داده شده است.

برای جایگاه LEI0192 ۱۷ آلل مشاهده شد، که با نتایج کلیمنتینو و همکاران (۲۰۱۰) در مرغ‌های بومی برزیل با تعداد ۱۷ آلل مطابقت داشت. برای جایگاه LEI0217 ۱۷ آلل مشاهده شده بود که با نتایج کلیمنتینو و همکاران (۲۰۱۰) با تعداد ۱۵ آلل در مرغ‌های بومی برزیل تقریباً مطابقت داشت. تعداد آلل مشاهده شده برای جایگاه LEI0237 ۲۱ آلل بود که با نتایج کلیمنتینو و همکاران (۲۰۱۰) با تعداد ۱۷ آلل در مرغ بومی برزیل مغایرت داشت. برای جایگاه LEI0258 تعداد آلل مشاهده شده ۲۰ آلل بود که با نتایج کلیمنتینو و همکاران (۲۰۱۰) با تعداد ۱۸ آلل در مرغ بومی برزیل تقریباً مطابقت داشت. تعداد آلل مشاهده شده برای جایگاه MCW0213 ۱۶ آلل مشاهده شد که با نتایج کلیمنتینو و همکاران (۲۰۱۰) با تعداد ۱۳ آلل در مرغ‌های بومی برزیل، و نتایج هاسن و همکاران (۲۰۰۷) در مرغ‌های بومی اتوپی با تعداد ۲۰ آلل مغایرت داشت. بنابراین جایگاه LEI0237 و LEI0258 با بیشترین تعداد آلل کارایی بهتری را از خود نشان دادند. محتوای چند شکلی، همبستگی مثبتی با تعداد آلل در هر لوکوس از خود نشان می‌دهد و حتی می‌توان با استفاده از تعداد آلل‌های تولید شده در هر لوکوس و در هر ژنوتیپ، میزان ناخالصی را محاسبه کرد. با توجه به جدول، میزان PIC در جایگاه LEI0166، ۰/۸۶۹ در مرغ‌های بومی برزیل با میزان ۰/۶۶۵ و با نتایج دینگ و همکاران (۲۰۱۰) در مرغ بومی چین و بنگلادش با میزان ۰/۳۴۴۳ و لوزیانگ و همکاران (۲۰۰۶) در مرغ‌های بومی چین و الوفسو و همکاران (۲۰۰۶) در مرغ‌های بومی چین با میزان ۰/۶۹۳۱ مغایرت داشت. میزان PIC برای جایگاه LEI0192 به میزان ۰/۸۸۰ به دست آمد که با نتایج کلیمنتینو و همکاران (۲۰۱۰) در مرغ‌های بومی برزیل با میزان ۰/۸۹۱ و با نتایج لوزیانگ و همکاران (۲۰۰۶) در مرغ‌های بومی چین با میزان ۰/۸۸۳ مطابقت داشت. میزان PIC برای جایگاه LEI0217 میزان ۰/۸۹۷ برآورد شد که با نتایج کلیمنتینو و همکاران (۲۰۱۰) با میزان ۰/۸۵۷ تا حدود زیادی مطابقت داشت. میزان PIC برای جایگاه LEI0237، ۰/۹۲۴ برآورد شد که با نتایج کلیمنتینو و همکاران (۲۰۱۰) به میزان

میانگین هتروزایگوستی مورد انتظار به میزان ۰/۸۹۹ مربوط به جایگاه LEI0237 و جایگاه LEI0258 به میزان ۰/۸۹۳ و کمترین میانگین هتروزایگوستی مورد انتظار به میزان ۰/۸۴۸ مربوط به جایگاه LEI0166 بود. با توجه به جدول ۵، میانگین هتروزایگوستی مشاهده شده برای جایگاه LEI0166 به میزان ۰/۹۶ برآورده است که با نتایج کلیمنتینو و همکاران (۲۰۱۰) با میزان ۰/۷۲۳ و نتایج لوزیانگ و همکاران (۲۰۰۶) با میزان ۰/۵۸ در مرغ‌های بومی چین مغایرت داشت. این میانگین، برای جایگاه LEI0192، به میزان ۰/۹۴ برآورده است که با نتایج کلیمنتینو و همکاران (۲۰۱۰) در مرغ‌های بومی چین مغایرت داشت و با نتایج هانگ (۲۰۱۰) به میزان ۰/۹۲۲ تا حدود زیادی مطابقت داشت و با نتایج لوزیانگ و همکاران (۲۰۰۶) با میزان ۰/۷۷ در مرغ‌های بومی چین مغایرت داشت، برای جایگاه LEI0217 به میزان ۰/۹۹ برآورده است که با نتایج کلیمنتینو و همکاران (۲۰۱۰) در مرغ‌های بومی برزیل به میزان ۰/۸۸ مغایرت داشت، برای جایگاه LEI0237 به میزان ۰/۸۹ برآورده است که با نتایج کلیمنتینو و همکاران (۲۰۱۰) در مرغ‌های بومی بومی برمیل به میزان ۰/۹۳۱ مغایرت داشت. برای جایگاه LEI0258 به میزان ۰/۹۳ برآورده است که با نتایج کلیمنتینو و همکاران (۲۰۱۰) در مرغ‌های بومی برمیل به میزان ۰/۹۳ مغایرت داشت. برای جایگاه MCW0213 به میزان ۰/۹۷ برآورده است که با نتایج کلیمنتینو و همکاران (۲۰۱۰)، در مرغ‌های بومی برمیل ۰/۹۲۹ تا حدود زیادی مطابقت و با نتایج هاسن و همکاران (۲۰۰۷) در مرغ‌های بومی اتیوبی با میزان ۰/۷۹ مغایرت داشت. در این تحقیق افزایش هتروزایگوستی مشاهده شده نسبت به هتروزایگوستی مورد انتظار وجود داشته که دلیل مشهودی بر تصادفی بودن آمیزش‌ها می‌باشد. میانگین هتروزایگوستی مشاهده شده نهایی در تمام جایگاه‌ها به میزان ۰/۹۴۶ برآورده شد. در UPGMA ترسیم شده است، در مرحله اول دو شاخه تشکیل شده است که در شاخه اول شوستر به تنهایی قرار دارد و به عنوان قدیمی‌ترین جمعیت محسوب می‌شود و شاخه بالایی نیز به چند شاخه تقسیم

LEI0258، MCW0213 در جمعیت آبادان و در جایگاه‌های LEI0217، LEI0258، MCW0213 در جمعیت دزفول، در جایگاه‌های LEI0166، LEI0192، MCW0213 در LEI0217، LEI0258 در جمعیت اهواز و در جایگاه‌های LEI0166 و LEI0237، LEI0217 در جمعیت ایده مشاهده شد که حاکی از تنوع ژنتیکی بالای در این جمعیت‌ها می‌باشد. کمترین هتروزایگوستی مشاهده شده به میزان ۰/۷۸۹ در جایگاه‌های LEI0237 و LEI0258 در جمعیت شوستر مشاهده شد که حاکی از تنوع ژنتیکی کمتر در این جمعیت می‌باشد. بیشترین هتروزایگوستی مورد انتظار به میزان ۰/۹۱۶ مربوط به جایگاه LEI0237 در جمعیت ایده بود. با توجه به دامنه موجود در بین بیشترین و کمترین میانگین هتروزایگوستی، چند شکلی فراوانی جایگاه‌های مزبور تصدیق گشته و وجود این مقادیر از جایگاه‌های ریزماهواره‌ای قابل انتظار است. در ردیف آخر جدول ۵، میانگین هتروزایگوستی مشاهده شده و میانگین هتروزایگوستی مورد انتظار برای تک تک جمعیت‌ها محاسبه و مشخص شد که بیشترین میانگین هتروزایگوستی مشاهده شده به میزان ۰/۹۷ در جمعیت آبادان و به میزان ۰/۹۶ در جمعیت دزفول و اهواز و کمترین هتروزایگوستی مشاهده شده به میزان ۰/۹۲ در جمعیت شوستر مشاهده شد. همچنین، بیشترین میانگین هتروزایگوستی مورد انتظار در جمعیت‌های دزفول به میزان ۰/۸۸۵ و جمعیت آبادان به میزان ۰/۸۷۶ بود. کمترین میانگین هتروزایگوستی مورد انتظار به میزان ۰/۸۵۲ مربوط به جمعیت ایده بود. بنابراین آبادان دارای بالاترین تنوع ژنتیکی و شوستر دارای کمترین تنوع ژنتیکی می‌باشد. با لحاظ شدن میانگین هتروزایگوستی مشاهده شده و هتروزایگوستی مورد انتظار کلیه جایگاه‌ها در جدول ۵، بیشترین میانگین هتروزایگوستی مشاهده شده (۰/۹۹) در جایگاه LEI0217 و کمترین میانگین هتروزایگوستی مشاهده شده (۰/۸۹) مربوط به جایگاه LEI0237 بود. همچنین بیشترین

4. Clementino, C.S., Barbosa, F.J.V., Carvalho, A.M.F., Costa-Filho, R.A.R., Silva, G.R., Campelo, E.G., Britto, F.B and Diniz,F.M.2010. Chicken Microsatellite DNA loci for population studies Brazilian ecotypes. *International Journal of Poultry Science.*9 (12): 1100-1106.
5. Ding, F., Zhang, G., Wang, J., Li, Y., Zhang, L., Wei, Y., Wang, H., Zhang, L and Hou, Q. 2010. Asian-Aust. J. Anim. Sci. 23(2):154-161.
6. Hassen, H., Nesar, F. W. C. de Kock, A and Marle-Köster, E. 2009. Study on the genetic diversity of native chickens in northwest Ethiopia using microsatellite markers . *African journal of biotechnology* .8(7):1347-1353.
7. Huang, z and Liao, x .2010. Cross-species amplification and characterization of microsatellite DNA loci from Gallus gallus in *Bambusicola thoracica*. *Chinese Birds*, 1(1):74–76.
8. Labate, J. A. 2000. Software for population genetic analysis of molecular marker data, *Crop Science*. 40(6):1521-1528.
9. Lujiang, Q., Xianyao, L., Guifang, X., Kuanwei, C., Hongjie, Y., Longchao, Z., Guiqin, W., Zhuocheng, H., Guiyun, X and Ning, Y. 2006. Evaluation of genetic diversity in Chinese indigenous chicken breeds using microsatellite markers. *Science in China Series C: Life Sciences*. 49 (4) 332-341.
- 10.Nikbakhti, M., Mirzaei,H., Afsharian Shandiz, M., Mohammadi Abadi,M., Saghi, D.A. 2009. Investigation Genetic Diversity Native Chicken Of Province Razavi Khorasan Using Microsatellite Markers. *Animal Sciences Pajouheshes Journal Iran*.Version 1.No 2. Pp: 19-25. In Farsi.
- 11.Olowofeso, O., Wang, J.Y., Dai, G. J., Yang, Y., Mekki, D. M and Musa, H. H .2005. Measurement of genetic parameters within and between haime chicken populations using microsatellite markers. *Poultry Science*. 4(3):143:148.

شد که در این شاخه دزفول با فاصله ژنتیکی ۱۰۰ درصد نسبت به جمیعت های آبادان، ایذه و اهواز قرار گرفته که با توجه به موقعیت جغرافیایی دو جمیعت، این فاصله منطقی به نظر می رسد. اهواز و ایذه روی یک شاخه با فاصله ژنتیکی ۸۰ درصد از هم قرار دارند که با توجه به موقعیت جغرافیایی دو جمیعت، این فاصله نیز منطقی به نظر می رسد. فاصله ژنتیکی آبادان نسبت به اهواز و ایذه ۵۳ درصد هست. در این روش شوستر قدیمی ترین جمیعت است و بعد از آن به ترتیب دزفول، ایذه، اهواز و آبادان قدیمی ترین، جمیعت ها محسوب می شوند.

### نتیجه گیری کلی

به طور کلی معیارهای ارزیابی شده جهت بررسی تنوع ژنتیکی مانند تعداد آلل، هتروزایگوسیتی و میزان PIC نشان داد تنوع در این طیور در حد بسیار مطلوبی قرار دارد.

### پاورقی ها

- 1-PCR: Polymeras Chain Reaction
- 2-EDTA
- 3-Salting-out Method
- 4-PIC:Polymorphism Information Content

### منابع

- 1.Alipanah, M., Amiri, Z., Torkamanzehi, A . 2010. Genetic diversity in native chiken from sistan region using microsatellite markers. *Animal ScienceJournal (Pajouhesh and sazandegi)* No 86 PP:66- 73. In Farsi.
- 2.Botstiein, D., White, R. L., Skolnik, M and davis, R. W. 1980. Construction of a genetic linkage map in map using restriction fragment lent polymorphism. *Am. J. hum. genet.* 32:314-331.
3. Chen, G., Bao, W., Shu, J., Ji, C., Wang, M., Eding, H., Muchadeyi, F and Weigend, S. 2008. Assessment of population structure and genetic diversity of 15 chinese indigenous chicken breeds using microsatellite markers. *Animal Science and Technology College, Yangzhou Universty, Yangzhou; 225009. Jiangsu, China.*

12. Peakall, R and Smouse, P. 2005. Gene ALE x 6: genetic analysis in excel. Population genetic software teaching and research. Molec.Ecol. Notes(in press).
- a13. Romanov, M N and Weigend, S. 2003. Analysis of genetic relationships between variose populations of domesticjungle fowl using microsatellite markers. *Poultry Sci.* 80: 1057-1063.
14. Takezaki, N., Nei, M. and Tamura, K .2010. Software for constructing population trees from allele frequency data and computing other population statistics with windows interface. Mol. Biol. 27(4): 747-752.
15. Tavakkolian, J 1999. An introduction to genetic resources of native farm animal in iran.with assistant of centerals of research natural resources and provinces animal precept and provinces staff. Karaj animal science research institute.In Farsi.
16. Zane, L., Borgelloni, L. and Patariollo, T. 2002. Strategies for microsatellite isolation: a review. Molecular Ecology.11: 1-16.
17. Zanetti, E., Dalvit, C., De Marchi, M., Dal Zotto, R and Cassandro, M. 2007. Genetic characterisation of Italian chicken breeds using a panel of twenty microsatellite markers.

▪ ▪ ▪ ▪ ▪ ▪ ▪ ▪ ▪ ▪